

в залежності від часу.

Реалізація даної схеми заснована на застосуванні отриманого авторами прямого методу розв'язку крайових задач теорії теплопровідності для багатошарових плоских конструкцій.

### III. МОДЕЛЬНА ЗАДАЧА

У якості модельної задачі досліджено вплив руйнування довільного шару будівельної конструкції на час вогнестійкості (втрати теплоізоляціальної здатності) будівельної конструкції, яка складається з вапняної штукатурки, пінопласти, цегляної кладки та вапняної штукатурки [3]. У початковий момент часу температура стінки постійна і дорівнює  $25^{\circ}\text{C}$ .

Одна із зовнішніх поверхонь нагрівається шляхом конвекційного теплообміну з навколошнім середовищем, температура якого змінюється за законом  $t_c(\tau) = 3451 \lg(8\tau + 1) + 25$ . Коефіцієнт теплообміну зі сторони поверхні, що обігрівається, становить  $\alpha_0 = 25 \frac{\text{Вт}}{\text{м}^2 \text{К}}$ , а з поверхні, що не обігрівається –  $\alpha_0 = 4 \frac{\text{Вт}}{\text{м}^2 \text{К}}$ . Необхідно визначити розподіл нестационарного температурного поля по товщині цієї конструкції та знайти час, за який температура поверхні, що не обігрівається, досягне  $180^{\circ}\text{C}$  (критична температура втрати теплоізоляціальної здатності).

Оскільки другий шар конструкції складається з пінопласти, то існує загроза його руйнації, коли температура на межі першого і другого шару підніметься до  $100^{\circ}\text{C}$ . Тому проведено два різні розрахунки розподілу нестационарного температурного поля (без урахування руйнування шару пінопласти, та з урахуванням руйнування шару пінопласти та, як наслідок, шару штукатурки).

Використавши запропонований алгоритм дослідження розподілу нестационарного температурного поля по товщині конструкції без урахування руйнування шару пінопласти, отримаємо розв'язок цієї задачі у вигляді графіку, що представлений на рис. 2.

Дослідимо тепер поширення нестационарного температурного поля по товщині конструкції з урахуванням руйнування другого шару. Проводячи відповідні розрахунки, одержимо графік зміни температури на поверхні, що не обігрівається у вигляді графіку (рис. 2).

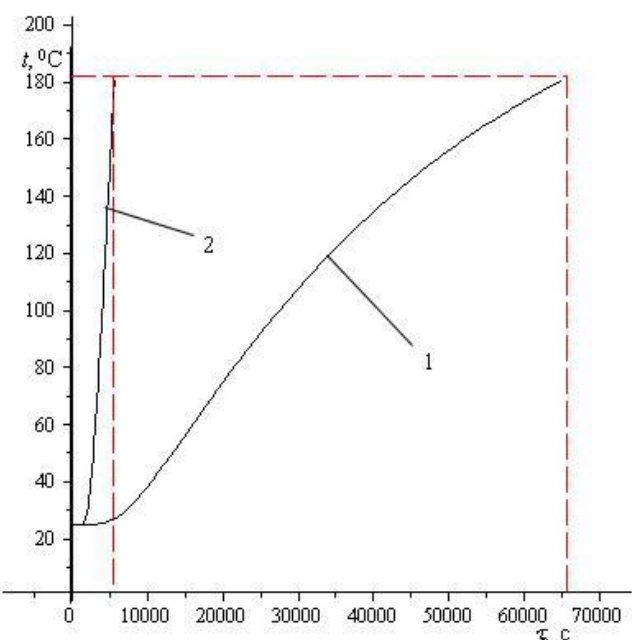


Рис. 2. Графік зміни температури зі сторони поверхні, що не обігрівається: 1 – без урахування руйнування шару пінопласти; 2 – з урахуванням руйнування шару пінопласти.

### ВИСНОВКИ

Важливість урахування руйнування одного чи декількох шарів є досить суттєвою. Проведені теоретичні дослідження у вигляді модельної задачі чотиришарової конструкції (штукатурка – пінопласт – цегляна кладка – штукатурка) показали, що неврахування фактору руйнування довільного шару може привести до помилкового визначення межі вогнестійкості. Теплоізоляційна здатність такої конструкції без урахування руйнації шару пінопласти становить 18 годин, а з урахуванням руйнування – 94 хв. У розглянутому випадку, час критичного прогріву реально зменшується приблизно у 11 раз.

### ЛІТЕРАТУРА REFERENCES

- [1] Милованов А. Ф. Огнестойкость железобетонных конструкций, М.: Стройиздат, 1986. – 224 с.
- [2] Тацій Р. М. Загальна третя крайова задача для рівняння теплопровідності з кусково-сталими коефіцієнтами та внутрішніми джерелами тепла / Р. М. Тацій, Т. І. Ушак, О. Ю. Пазен // Пожежна безпека: Зб. наук. пр. – Львів : ЛДУ БЖД, 2015. – № 27. – С. 120-126.
- [3] Семерак М. М. Теплоизолирующая способность многослойных строительных конструкций с учётом разрушения произвольного слоя / М. М. Семерак, Р. М. Тацій, О. Ю. Пазен // Вестник Кокшетауского технического института Министерства по чрезвычайным ситуациям Республики Казахстан : Сб. науч. тр. – Кокшетау : КТИ КЧС МВД РК, 2015. – № 4 (20). – С. 8-17.

# Про розв'язність задачі з функціональними крайовими умовами для квазідиференціального рівняння з мірами в коефіцієнтах

В.В. Мазуренко

кафедра диференціальних рівнянь і прикладної математики  
Прикарпатський національний університет імені Василя Стефаника  
Івано-Франківськ, Україна  
viktor.mazurenko@pu.if.ua

## On the solvability of a functional boundary-value problem for a quasidifferential equation with measures as coefficients

V. Mazurenko

Department of Differential Equations  
and Applied Mathematics  
Vasyl Stefanyk Precarpathian National University  
Ivano-Frankivsk, Ukraine  
viktor.mazurenko@pu.if.ua

**Анотація**—На основі поняття псевдооберненої за Муром-Пенроузом матриці встановлено необхідні і достатні умови існування та єдності розв'язку задачі з функціональними крайовими умовами для квазідиференціального рівняння з мірами в коефіцієнтах. Отримано зображення розв'язку в інтегральній формі з допомогою функції Гріна.

**Abstract**—We consider a functional boundary-value problem for a quasidifferential equation in general case with the number of boundary conditions not coinciding with the order of the equation. We obtain necessary and sufficient conditions for the existence and uniqueness of a solution of such boundary-value problem using a method of pseudo-inverse by Moore-Penrose matrices. We represent the solutions in the integral form by the Green matrix.

**Ключові слова**—квазідиференціальне рівняння з мірами; функціональна крайова задача; існування розв'язків; псевдообернена за Муром-Пенроузом матриця; матриця Гріна.

**Keywords**—quasidifferential equation with measures; functional boundary-value problem; existence of solutions; Moore-Penrose pseudo-inverse matrix; Green matrix.

### I. ВСТУП

Дослідження різноманітних фізичних процесів (як, н-д, поздовжні коливання стрижнів з кусково-змінним перерізом, крутільні коливання валів змінної жорсткості, температурні задачі з кусково-змінним коефіцієнтом тепlopровідності та ін.), які вираховують природну єдність дискретного (зосереджені величини) і неперервного (розділені величини) приводить до необхідності створення адекватних математичних моделей. Багато з них описуються диференціальними рівняннями, що містять доданки вигляду  $(a(x)y^{(m)})^{(n)}$ . За умови недостатньої гладкості коефіцієнта  $a(x)$  такі рівняння не вдається звести (з допомогою операції  $n$ -кратного диференціювання) до звичайних диференціальних. Відтак в науковій літературі їх прийнято називати квазідиференціальними (КДР).